

(10) けた高の高いアーチの横倒伏座屈

秋田大学 正員 ○薄木征三

秋田大学 学員 山岸一彦

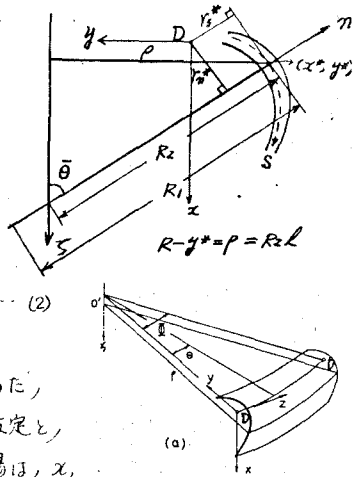
秋田大学 正員 桑農知徳

1. まえがき アーチの曲率面内に荷重が作用した時の、曲率面外への座屈、すなわち横倒伏座屈は、アーチ橋の耐荷能力を決定する要素の一つとして重要であり、古くから多くの研究者によって扱われてきる問題である。問題を弹性座屈に限定するとき、座屈変位を支配する方程式を導く方法には種々の方法があるが、従来はこれらの方程式において座屈前の変位は小さいとして無視されている。ここでは、薄肉シエルのひずみ-変位関係式に棒部材としての従来の仮定を適用して得られる変位場を基礎として、増分理論を基に座屈前の変位を考慮した座屈支配方程式と純曲げの場合の解を示す。

2. ひずみ-変位関係 図-1で、軸方向のひずみ $\epsilon_0$ と薄肉中央面に沿うせん断ひずみ $\epsilon_s$ は、 $\epsilon_0 = \sin \theta$ ,  $\epsilon_s = -\cos \theta$  として

$$\epsilon_0 = \frac{1}{1+n/R_2} \left( \frac{1}{P} \frac{\partial w}{\partial \theta} - \frac{\xi}{P} m + \frac{\eta}{P} l \right) + \frac{1}{2} \frac{1}{(1+n/R_2)^2} \left\{ \left( \frac{1}{P} \frac{\partial \xi}{\partial \theta} + \frac{w}{P} m \right)^2 + \left( \frac{1}{P} \frac{\partial \eta}{\partial \theta} - \frac{w}{P} l \right)^2 \right\} \quad (1)$$

$$\epsilon_s = \frac{1}{1+n/R_1} \frac{\partial w}{\partial s} + \frac{1}{1+n/R_2} \left( \frac{1}{P} \frac{\partial \xi}{\partial \theta} + \frac{w}{P} m \right) + \frac{1}{(1+n/R_1)(1+n/R_2)} \times \left\{ \left( \frac{\partial \xi}{\partial s} + \frac{\eta}{R_1} \right) \left( \frac{1}{P} \frac{\partial \xi}{\partial \theta} + \frac{w}{P} m \right) + \left( \frac{\partial \eta}{\partial s} - \frac{\xi}{R_1} \right) \left( \frac{1}{P} \frac{\partial \eta}{\partial \theta} - \frac{w}{P} l \right) \right\} \quad (2)$$



ただし、軸方向変位 $w$ の微係数の2次の項は無視する。一方、(1), (2)を含めた、薄肉シエルのひずみ-変位関係式に、構造理論の仮定、すなわち断面形不変の仮定と、せん断ひずみに関するオイラー-ベルヌーイの仮定に基づいて得られる変位場は、 $x$ ,  $y$ 方向の変位を $u$ ,  $v$ として

$$u = u_0 - y \sin \varphi - x(1 - \cos \varphi), \quad v = v_0 + x \sin \varphi - y(1 - \cos \varphi), \\ w = w_0 - y \{ (v'_0 + w_0/R) \cos \varphi - u'_0 \sin \varphi \} - x \{ u'_0 \cos \varphi + (v'_0 + w_0/R) \sin \varphi \} - w(s, n) \{ \varphi' - u'_0 \cos \varphi / R - (v'_0 + w_0/R) \sin \varphi / R \} \quad (3. a \sim c)$$

である。ここに、 $'$ は $R\theta$ に関する微分である。 $\varphi$ ,  $\eta$ と $u$ ,  $v$ の関係は、 $\varphi = mv + ln$ ,  $\eta = mu - lv$ である。特に(3.c)の $w$ は、(2)を含めたせん断ひずみに関するひずみ-変位関係式の2次項について、 $w \approx w_0$ と近似することによって得られたものである。 $w(s, n)$ はとり関数であり、基本的には微小変位の場合と同じである。(3)で $\sin \varphi$ ,  $\cos \varphi$ をTaylor展開して変位の3次式まで展開すると

$$u = u_0 - y(\varphi - \varphi^3/6) - x\varphi^2/2, \quad v = v_0 + x(\varphi - \varphi^3/6) - y\varphi^2/2$$

$$w = w_0 - y \{ (1 - \varphi^2/2) \phi_x - \varphi \phi_y \} - x \{ (1 - \varphi^2/2) \phi_y + \varphi \phi_x \} - w(\psi_z + \varphi^2 \phi_y / 2R - \varphi \phi_x / R) \quad (4. a \sim c)$$

$$\text{ここで } \phi_x = v'_0 + w_0/R, \quad \phi_y = u'_0, \quad \psi_z = \varphi' - u_0/R \quad (5)$$

$\phi_x$ ,  $\phi_y$ は任意定義 $D$ を連ねた軸線の各々 $y-z$ 面,  $x-z$ 面にに関する線形理論での接線回転角を、又、 $\psi_z$ は同理論でのこの軸線まわりのねじり率を表している。

これを(1), (2)に代入して同様に変位の3次まで表わすと

$$\varepsilon_\theta = \frac{R}{\rho} \varepsilon_x - \frac{R}{\rho} y \varepsilon_z - \frac{R}{\rho} x \varepsilon_y - \frac{R}{\rho} \omega \varepsilon_w + \varepsilon_n + (\frac{R}{\rho})^2 y^2 \varepsilon_{xx} + (\frac{R}{\rho})^2 (x - \frac{\omega}{R})^2 \varepsilon_{yy} + (\frac{R}{\rho})^2 \omega y \varepsilon_{yz} + (\frac{R}{\rho})^2 x y \varepsilon_{xy}, \quad (5)$$

$$\gamma_s = \Theta(\psi_z - \varphi \phi_x / R + \varphi^2 \phi_y / 2R) \quad \dots \dots \quad (6)$$

ここで  $\varepsilon_n = (\phi_x^2 + \phi_y^2) / 2$   
 $\varepsilon_x = K_x - (\varphi \phi_y)' - \varphi^2 / 2R - (\varphi^2 \phi_x)' / 2 + \psi_z \phi_y + \varphi \psi_z \phi_x$   
 $\varepsilon_y = K_y + (\varphi \phi_x)' - \varphi^3 / 6R - (\varphi^2 \phi_y)' / 2 - \psi_z \phi_x + \varphi (\phi_x^2 / R + \phi_y^2 / R + \psi_z \phi_y)$   
 $\varepsilon_w = \phi_w - (\varphi \phi_x)' + (\varphi^2 \phi_y)' / 2R + \phi_x (\psi_z - \varphi \phi_x / R) / R$   
 $\varepsilon_{xx} = \psi_z^2 / 2, \quad \varepsilon_{yy} = \psi_z^2 / 2 - \varphi \psi_z \phi_x / R, \quad \varepsilon_{yz} = \varphi \psi_z^2, \quad \varepsilon_{xy} = \varphi \psi_z \phi_y / R$   
 $\varepsilon_{zz} = w_p' - v_p / R, \quad K_x = v_p'' + w_p / R, \quad K_y = u_p'' + \varphi / R, \quad \phi_w = \varphi'' - u_p'' / R \quad \dots \dots (7a \sim e)$

$K_x, K_y$  は各々、 $x, y$  軸まわりの曲率の変化を、又、 $\phi_w$  は $z$  軸回りの曲率の変化を表す線形理論で意味する。

### 3. 1 軸対称アーチの横座屈方程式

座屈前の状態での荷重、応力および変位の全てに指標 $^\circ$ を付し、座屈変位する事によるこれらの増分量には $^\circ$ を付さないものとすると、座屈変位した後の仮想仕事の原理は

$$\int_0^{\frac{\pi}{2}} \int_F \left\{ (\sigma_\theta^\circ + \sigma_\theta) \delta (\varepsilon_\theta^\circ + \varepsilon_\theta) + (t_s^\circ + t_s) \delta (t_s^\circ + t_s) \right\} dF s d\theta - \int_0^{\frac{\pi}{2}} \int_F (\beta_x^\circ + \beta_x) \delta (u^\circ + u) \\ + (\beta_y^\circ + \beta_y) \delta (v^\circ + v) + (\beta_z^\circ + \beta_z) \delta (w^\circ + w) \} dF s d\theta - \left[ \int_F \left\{ (t_{xz}^\circ + t_{xz}) \delta (u^\circ + u) \right. \right. \\ \left. \left. + (t_{yz}^\circ + t_{yz}) \delta (v^\circ + v) + (\sigma_\theta^\circ + \sigma_\theta) \delta (w^\circ + w) \right\} dF \right]_0^{\frac{\pi}{2}} = 0 \quad \dots \dots (8)$$

ここで、 $\beta_x^\circ, \beta_y^\circ, \beta_z^\circ$  は座屈前に $x, y, z$  方向に作用している物体力である。但し、 $\beta_x^\circ = 0$  とする。作用する外力は保守系とすると、座屈前後で荷重の増分は無いから、 $\beta_x = \beta_y = \beta_z = t_{xz} = t_{yz} = \sigma_\theta = 0$  である。 $(8)$  に $(4), (6), (7)$  を代入すると、この時、1 軸対称断面であるから、座屈前で  $u_p^\circ = \phi_x^\circ = K_y^\circ = \varphi^\circ = \psi_z^\circ = \phi_w^\circ = 0$  であることに注意して、 $(8)$  は

$$\int_0^{\frac{\pi}{2}} \int_F \left( \sigma_\theta \delta \varepsilon_\theta^* + t_s \delta t_s^* + \sigma_\theta^\circ \delta \varepsilon_\theta^N + t_s^\circ \delta t_s^N \right) dF s d\theta - \int_0^{\frac{\pi}{2}} \int_F (\beta_y^\circ \delta v^N + \beta_z^\circ \delta w^N) dF s d\theta \\ - \left[ \int_F (t_{xz}^\circ \delta u^N + t_{yz}^\circ \delta v^N + \sigma_\theta^\circ \delta w^N) dF \right]_0^{\frac{\pi}{2}} = - \int_0^{\frac{\pi}{2}} \int_F (\sigma_\theta \delta \varepsilon_\theta^* + t_s \delta t_s^*) dF s d\theta \\ + \int_0^{\frac{\pi}{2}} \int_F (\beta_y \delta v^* + \beta_z \delta w^*) dF s d\theta + \left[ \int_F (t_{xz} \delta u^* + t_{yz} \delta v^* + \sigma_\theta \delta w^*) dF \right]_0^{\frac{\pi}{2}} \quad \dots \dots (9)$$

ここに

$$u^* = u_p - y \varphi, \quad v^* = v_p + x \varphi, \quad w^* = w_p - y \phi_x - x (\phi_y + \phi_x \varphi) - \omega (\psi_z - \phi_x \varphi / R) \quad \dots \dots (10.a \sim c)$$

$$u'' = -x \varphi^2 / 2, \quad v'' = -y \varphi^2 / 2, \quad w'' = y (\varphi \phi_y + \phi_x \varphi^2 / 2) - x \varphi \phi_x + \omega \varphi \phi_x / R \quad \dots \dots (11.a \sim c)$$

$$\varepsilon_x^* = K_x, \quad \varepsilon_y^* = K_y + (\phi_x \varphi)' - \phi_x^2 \psi_z + \phi_x^2 \varphi / R, \quad \varepsilon_w^* = \phi_w \phi_x \quad \} \quad \dots \dots (12.a \sim e)$$

$$\varepsilon_z^* = \phi_w - (\phi_x \varphi)' / R + \phi_x^2 \psi_z / R - \phi_x^2 \varphi / R^2, \quad t_s^* = \Theta (\psi_z - \phi_x \varphi / R) \quad \}$$

$$\varepsilon_x'' = -(K_x \varphi + \phi_y^2 / R - \varphi^2 / 2R + K_z \varphi^2 / 2 + \phi_x^2 \phi_y \varphi / R) \quad \}$$

$$\varepsilon_z'' = -(K_x \varphi + \phi_x \phi_y / R + 2 \phi_x \phi_y \varphi / R) / R, \quad t_s'' = -\Theta (\psi_z - \phi_x \varphi / R) \quad \}$$

$$\varepsilon_y'' = (K_y \varphi + \phi_x^2 \psi_z / R + 2 \phi_x^2 \phi_y \varphi / R) \quad \}$$

$$\varepsilon_n'' = (\phi_x^2 + \phi_y^2) / 2, \quad \varepsilon_{xx}'' = \psi_z^2 / 2, \quad \varepsilon_{yy}'' = -\phi_x^2 \psi_z / R + \psi_z^2 / 2 \quad \}$$

$*, ''$  は各々、変位増分に関して 1 次、2 次の項からなることを示している。

ところで、変位場の式(3)は、軸方向変位の微係数が 1 に比べて十分に小さい事、従って、小さな曲げ変形に對して適用しうるものであるから、(10)～(13) の接線回転角  $\phi_a^\circ$  は、1 に比べて十分に小さくなっている。それ故

に、次のように近似し得る。

$$\begin{aligned} w'' &\approx y\phi\phi_y - x\phi\phi_x + \omega^2\phi_x/R, & \varepsilon_y'' &\approx K_y + K_x^2\phi \\ \varepsilon_\omega'' &\approx \delta_\omega - K_x^2\phi/R, & \varepsilon_x'' &\approx -(K_y\phi + \phi_x^2/R - \phi^2/2R + K_x^2\phi^2/2) \\ \varepsilon_\omega'' &\approx -(K_x\phi + \phi_x\phi/R)/R, & \varepsilon_y'' &\approx K_x\phi + \phi_x\phi_y/R \\ \varepsilon_{yy}'' &\approx \psi_x^2/2 & & \cdots \quad (14. a \sim g) \end{aligned}$$

式(4)に(10)～(14)を代入して部分積分すると

座屈後の横倒れ座屈に對して

$$\{EJ_y(K_y + K_x^2\phi) - EC_\omega(\delta_\omega - K_x^2\phi/R)/R + M_x^2\phi\}'' + GJ_T(\delta_\omega - K_x^2\phi/R) - M_x^2(\phi_y' + K_x^2\phi)/R = 0 \quad \cdots \quad (15)$$

$$\{EC_\omega(\delta_\omega - K_x^2\phi/R)\}'' - GJ_T(\delta_\omega - K_x^2\phi/R) - EC_\omega(\delta_\omega - K_x^2\phi/R)K_x^2/R + \{EJ_y(1/R + K_x^2) + M_x^2\}(K_y + K_x^2\phi) = 0 \quad \cdots \quad (16)$$

境界条件

$$\delta u_0 = 0, \text{ または, } \{EC_\omega(\delta_\omega - K_x^2\phi/R)/R - EJ_y(K_y + K_x^2\phi) - M_x^2\phi\}' - GJ_T(\psi_x - \phi_x^2\phi/R)/R + m_x^2\phi = 0$$

$$\delta\phi = 0, \text{ または, } -\{EC_\omega(\delta_\omega - K_x^2\phi/R)\}' + GJ_T(\psi_x - \phi_x^2\phi/R) - M_x^2(\phi_y + \phi_x^2\phi) = 0$$

$$\delta\phi_y = 0, \text{ または, } EJ_y(K_y + K_x^2\phi) = 0$$

$$\delta\psi_x = 0, \text{ または, } EC_\omega(\delta_\omega - K_x^2\phi/R) = 0 \quad \cdots \quad (17. a \sim d)$$

座屈前の変位に對して

$$(EJ_x K_x^2)'' - EF(\varepsilon_x^2 + \phi_x^2/2) - m_x^2 - p_y^0 = 0 \quad \cdots \quad (18)$$

$$\{-EF(\varepsilon_x^2 + \phi_x^2/2)\}' - (EJ_x K_x^2)'/R + m_x^2/R - p_x^0 = 0 \quad \cdots \quad (19)$$

境界条件

$$\delta v_0 = 0, \text{ または, } -(EJ_x K_x^2)' + m_x^2 - Q_y^0 = 0$$

$$\delta w_0 = 0, \text{ または, } EF(\varepsilon_x^2 + \phi_x^2/2) - N^0 = 0$$

$$\delta\phi_x = 0, \text{ または, } EJ_x K_x^2 + M_x^0 = 0$$

}  $\cdots \quad (20. a \sim c)$

但し、(15)～(17)はせん断中心軸での変位、(18)～(20)は中立軸での変位で表わしてあり、断面定数  $J_y, C_\omega, J_x, J_T, F$  は慣用の表示であり、 $Q_y^0, N^0, M_x^0$  は、座屈前の状態で作用しているせん断力、軸力、曲げモーメントである。又、 $m_x^2$  は軸まわりに作用する分布ねじりモーメント、 $p_y, p_x$  は各々、 $y, x$  方向に作用する部材長の単位長さあたりの分布荷重である。

4. 計算例 図のように両端に曲げを受けるアーチがあり、曲率面外にも面内にも単純支持とする。この時の(18)、(19)の解は、

$$EJ_x K_x^2 = -M_x^0 \quad \cdots \quad (21)$$

となる。(21)を(15)、(16)に代入し、座屈変位として

$$u_0 = a_0 \sin \pi \theta/\pi, \quad \phi = b_0 \sin \pi \theta/\pi \quad \cdots \quad (22)$$

を仮定すると、境界条件  $\delta u_0 = \delta\phi = 0, (\theta = 0, \pi)$  を満たす。

式(22)を(15)、(16)に代入し、 $a_0, b_0$  の係数行列を 0 とおくと、

$$\alpha(\alpha-1)\bar{M}^2 + \{\alpha(1+k+m^2\lambda^2) - k\}\bar{M} + (1-m^2)(\lambda^2m^2+k) = 0 \quad \cdots \quad (23)$$

を得る。但し、 $m = \pi/\pi$ ,  $\alpha = J_x/J_y$ ,  $k = GJ_T/EJ_y$ ,  $\lambda^2 = EC_\omega/EJ_y R^2$ ,  $\bar{M} = RM_x^2/EJ_x$  である。

式(23)を  $\bar{M}$  について解くと、 $\alpha \neq 1$  として

$$\bar{M} = \frac{1}{2\alpha(\alpha-1)} [k - \alpha(1+k+\lambda^2m^2) \pm \sqrt{\{\alpha(1+k+\lambda^2m^2) - k\}^2 - 4(1-m^2)\alpha(\alpha-1)(k+\lambda^2m^2)}] \quad \cdots \quad (23)$$

を得る。 $R\pi = L$  として、 $R \rightarrow \infty$ ,  $\pi \rightarrow \pi$  の極限では直線材の場合に一致する。

